

(4) 統計的不確定性の信頼性設計法への影響

京都大学工学部 白石 成人
京都大学工学部 ○古田 勝

I. まえがき

構造物の安全性を評価するには、種々の不確定要因の影響を正確に把握することが重要である。一般に、材料強度、荷重効果等の不確定性は、観測・実験等を通じて得られたデータに統計・確率処理を施し、統計的特性値の形で評価されることが多い。しかししながら、土構造物の設計においては、その特殊性から十分な統計データを得ることは困難であるため、数少ないデータからいかにこれらの値を推定するかが、安全性ありの合理性を追求する上で重要なものとなる。

本研究では、FD テクニカル統計学を用いたことにより、データ数と統計的不確定性の安全性解析および信頼性設計法への影響について検討を加えた。安全性解析としては、汎用性ありの計算が容易だから実際設計への適用性が最もすぐれていいといわれている。次モーメント法では、評価尺度として安全性指標が用いられるが、初期の安全性指標の定義には invariance の問題が存在し、これを解決するため、現在複数の定義が提案されている。本研究では、Haasfer-Lind の定義¹⁾、Ditersen-Shor の定義²⁾および Rackwitz の定義³⁾に注目し、それらへの統計的不確定性の導入の仕方について考察を加え、各手法の比較検討を行った。Haasfer-Lind の定義は、各確率変数が正規分布に従うという仮定に基づいていたため、まず、確率変数が正規分布に従う場合の標本の平均・標準偏差と母集団の平均・標準偏差との関係式を FD テクニカル統計学を用いたことにより導く。つぎに、Ditersen-Shor の定義に基づき、対数正規分布の場合の母集団と標本に関する統計的特性値間の関係を誘導し、さらに、それらの関係を用いたことにより、平均・標準偏差間の関係式を近似的に求めた。これら以外の確率分布に対しては、解析的に標本統計量と母集団の統計量との関係を導くことが困難であるため、モンテカルロシミュレーションにより数値的に関係式を推定する。以上の関係式を用いたことにより、データ数の安全性指標への影響を検討し、最適なデータ数について検討を加えた。さらに、それらの設計における影響を与えるか否、荷重係数設計法との関連から考察する。

2. 母集団の平均・標準偏差と標本の平均・標準偏差との関係

1) 確率変数 X が正規分布に従う場合

この標本 X_i が得られたとき、母集団の平均 μ_x 、標準偏差 σ_x の確率密度関数は、FD テクニカル統計学を用いたことにより、以下のように求められる。⁴⁾

$$f_{\mu_x}(\mu_x) = \frac{P\left(\frac{n}{2}\right)}{\sqrt{\pi} P\left(\frac{n-1}{2}\right)} \frac{1}{\sigma_x} \left\{ 1 + \frac{(\bar{X} - \mu_x)^2}{n\sigma_x^2} \right\}^{-\frac{n}{2}} \quad (1)$$

$$f_{\sigma_x}(\sigma_x) = \frac{\frac{n-1}{2}}{2^{\frac{n-2}{2}} P\left(\frac{n-1}{2}\right)} \frac{1}{\sigma_x} \left\{ \frac{\Delta x}{\sigma_x} \right\}^n \exp\left(-\frac{n\Delta x^2}{2\sigma_x^2}\right) \quad (2)$$

ただし、 \bar{X} は標本平均、 Δx は標本標準偏差である。

式(1), (2) から、 μ_x , σ_x の期待値 $E[\mu_x]$, $E[\sigma_x]$ は

$$E[\mu_x] = \bar{X} \quad (3) \quad E[\sigma_x] = \sqrt{\frac{n}{2} \frac{P\left(\frac{n-2}{2}\right)}{P\left(\frac{n-1}{2}\right)}} \Delta x = \gamma_x \cdot \Delta x \quad (4)$$

母平均は標本平均で推定できるが、標準偏差は標本から求めた値にデータ数の関数である修正係数 γ_x を乗じてより推定しなければならない。

つぎに、この修正係数 γ_x を簡単に求めたための近似手法について考える。^{5), 6)} いま、 $\theta (= n/\Delta x^2)$ というパラメータを導入すると、 θ の対数は、

$$\log \theta = \log 2 + 2 \log \frac{P(\frac{n-1}{2})}{P(\frac{n-2}{2})} \quad (5)$$

ここで、 $\log [P(x+\lambda)/P(x)]$ は次のようになる。

$$\log \frac{P(x+\lambda)}{P(x)} = \lambda \log x + \frac{1}{x} \frac{\lambda(\lambda-1)}{2} - \frac{1}{x^2} \frac{\lambda(\lambda-1)(\lambda-2)}{12} + \frac{1}{x^3} \frac{\lambda(\lambda-1)^2}{12} \dots \quad (6)$$

$$\theta = (n-1) - \frac{3}{2} + \frac{1}{8(n-2)} \quad (7)$$

となり、第2項目までとると、修正係数 γ_x は以下のようになる。

$$\gamma_x = \sqrt{\frac{n}{n-2.5}} \quad (8)$$

Table I にて、 γ_x の近似法の計算結果を示す。叢書に式(6) の展開式は大きな誤差となるが大きいたく精度を上げるが、計算結果からは $\lambda = 5$ 以上で誤差が 1% 以下となり、データ数が少い場合でも実用上十分であることがわかる。

2) 確率変数 X が対数正規分布に従う場合

X が対数正規分布に従う場合、 $U = \ln X$ という対数変換を行はうと、 U は正規分布に従う。

$$f_u(u) = \frac{1}{\sqrt{2\pi} \gamma_x} \exp \left[-\frac{(u - \lambda_x)^2}{2\gamma_x^2} \right] \quad (9)$$

$$\lambda_x = E[\ln X] \quad (10)$$

$$\gamma_x^2 = \text{Var}[\ln X] \quad (11)$$

いま、標本統計量として以下に示す \bar{u} , S_u をとる。

$$\bar{u} = \sum_{i=1}^n \ln x_i \quad (12)$$

$$S_u^2 = \frac{1}{n} \sum_{i=1}^n (\ln x_i - \bar{u})^2 \quad (13)$$

母集団の統計量 λ_x , γ_x の期待値は、式(13), (14) と同様に次式のようになる。

$$E[\lambda_x] = \bar{u} \quad (14), \quad E[\gamma_x] = \sqrt{\frac{\pi}{2} \frac{P(\frac{n-2}{2})}{P(\frac{n-1}{2})}} S_u \quad (15)$$

また、変動係数 δ_x が 0.3 以下の場合には、中央値 X_m , 变動係数 δ_x の確率密度関数は次のようになる。

$$f_{Xm}(X_m) = \frac{P(\frac{n}{2})}{\sqrt{\pi} P(\frac{n-1}{2})} \frac{1}{S_x} \left\{ 1 + \frac{(\ln X_m - \bar{u})^2}{S_x^2} \right\}^{-\frac{n}{2}} \quad (16)$$

$$f_{\delta_x}(\delta_x) = \frac{n^{\frac{n-1}{2}}}{2^{\frac{n-1}{2}} P(\frac{n-1}{2})} \frac{1}{S_x} \left(\frac{S_x}{\delta_x} \right)^n \exp \left(-\frac{n S_x^2}{2 \delta_x^2} \right) \quad (17)$$

つぎに、 μ_x , σ_x と \bar{x} , S_x の関係を近似的に求めよう。一次近似の考え方を用いると、 $E[\mu_x]$, $E[\sigma_x]$ は $E[\lambda_x]$, $E[\gamma_x]$ を用いて以下のように表わされる。

$$E[\mu_x] = \exp(E[\lambda_x] + \frac{1}{2}(E[\gamma_x])^2) \quad (18)$$

$$E[\sigma_x] = E[\mu_x] \cdot \sqrt{\exp((E[\gamma_x])^2) + 1} \quad (19)$$

Table 1 Comparison of Exact and Approximate Solutions

n	Exact.	Appr.	Error (%)
3	2.171	2.449	12.81
4	1.596	1.633	2.32
5	1.401	1.414	0.93
6	1.303	1.309	0.46
7	1.243	1.247	0.32
8	1.204	1.206	0.17
9	1.175	1.177	0.17
10	1.153	1.155	0.17
20	1.069	1.069	0.
30	1.044	1.044	0.
40	1.033	1.033	0.
50	1.026	1.026	0.
60	1.021	1.021	0.
70	1.018	1.018	0.
80	1.016	1.016	0.

Table 2 Numerical Results of γ_x (Log-normal Distribution)

n	$\delta_x = 0.1$	$\delta_x = 0.2$	$\delta_x = 0.3$	$\delta_x = 0.4$	$\delta_x = 0.5$
3	1.019	1.076	1.173	1.317	1.513
4	1.008	1.031	1.069	1.122	1.188
5	1.005	1.019	1.042	1.074	1.113
6	1.003	1.014	1.031	1.053	1.081
7	1.003	1.011	1.024	1.041	1.063
8	1.002	1.009	1.020	1.034	1.051
9	1.002	1.007	1.017	1.029	1.043
10	1.002	1.007	1.014	1.025	1.038
20	1.001	1.003	1.006	1.011	1.016
30	1.000	1.002	1.004	1.007	1.010
40	1.000	1.001	1.003	1.005	1.007
50	1.000	1.001	1.002	1.004	1.006
60	1.000	1.001	1.002	1.003	1.005

式(18)より明らかのように、対数正規分布の場合には、 $E[\mu_x]$ も標本平均 \bar{X} とみなすことができます。何らかの補正が必要となる。Table 2, Table 3 に式(18), (19) を用いて求めた平均値に関する修正係数 γ_{μ} 、標準偏差に関する修正係数 γ_{σ} の値を示す。この場合は、 $E[\mu_x]$ もデータ数に関係なくため、 μ_x , σ_x とも変動係数の値により変化する。しかし、 μ_x の値は $n < n \leq 10$ ではほとんどんどりとみなすことができる。これに対し、 σ_x は一般に正規分布の場合より大きくなり、この傾向は変動係数の値が増加するにつれて顕著になる。つまり、変動係数に注目して σ_x/μ_x を計算しても、対数正規分布の修正係数 γ_{σ}/μ_x は正規分布の場合の γ_{σ}/μ_x (ただし、正規分布の場合 $\sigma_x = 1$) より大きくなる。

3) その他の確率分布の場合

正規分布・対数正規分布以外の場合には、修正係数 γ_x を解析的に求めることは困難である。例えば、ガンマ分布に対して正規分布との関係を近似的に導き、 μ_x , σ_x の確率密度を求める試み²⁾ がなされているが、 $E[\mu_x]$, $E[\sigma_x]$ を求め計算が複雑となるので、ここではモンテカルロシミュレーションを用いて、数値的に修正係数を求める。 $E[\mu_x]$ に、オーライアス近似最大値分布 (EX I) に対して得られたシミュレーション結果を示す。標本 X_i から \bar{X} , S_x を求め、 μ_x , σ_x と比較することにより修正係数 γ_x を求めている。この計算結果から、 X が EX I に従う場合には、 γ_x は正規分布・対数正規分布の場合より大きくなる傾向がみられる。すなはち、各データ数での σ_x の最大値の包絡線を 2 次曲線と仮定すると、以下の近似式が得られる。

$$\gamma_x(n) = an^2 + bn + c \quad (20)$$

$$\text{ただし, } a = 0.0000225, \quad b = -0.0144, \quad c = 2.372$$

3. 統計的不確定性の安全性指標への影響

1) Haasfer-Lind の定義²¹⁾

Haasfer と Lind は、標準化空間において原点と破壊面間の最短距離という考え方を用いたことにより、安全性指標の定義の一般化を図る。確率変数 X_i の標準化変数 x_i を

$$x_i = \frac{x_i - \mu_{x_i}}{\sigma_{x_i}} \quad (21)$$

とすると、安全性指標 ρ は x_i により表わされた破壊条件式

$$g(\underline{x}) = g(x_1, x_2, \dots, x_m) \leq 0 \quad \underline{x} : m \text{ 次元のベクトル} \quad (22)$$

m : 確率変数の数

を制約式とする最適化問題を解くことにより求められる。

Table 3 Numerical Results of γ_{σ}
(Log-normal Distribution)

n	$\delta_x = 0.1$	$\delta_x = 0.2$	$\delta_x = 0.3$	$\delta_x = 0.4$	$\delta_x = 0.5$
3	2.232	2.423	2.769	3.314	4.130
4	1.614	1.670	1.765	1.900	2.079
5	1.411	1.442	1.492	1.562	1.651
6	1.310	1.330	1.363	1.409	1.467
7	1.249	1.264	1.288	1.322	1.364
8	1.208	1.220	1.239	1.266	1.299
9	1.178	1.188	1.204	1.226	1.253
10	1.156	1.165	1.178	1.197	1.220
20	1.070	1.073	1.079	1.086	1.095
30	1.045	1.047	1.051	1.055	1.061
40	1.033	1.035	1.037	1.041	1.044
50	1.026	1.028	1.029	1.032	1.035
60	1.022	1.023	1.024	1.026	1.029

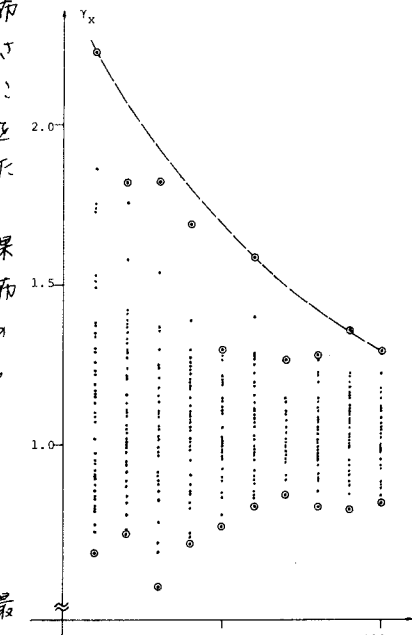


Fig. 1 γ_x for EXI Distribution

$$\text{Min. } \beta = \sqrt{\underline{x}^T \underline{x}} \quad \left. \right\} (23)$$

s.t. $g(\underline{x}) = 0$

：の Hasofer-Lind の基本的考え方では、各確率変数が正規分布に従うという仮定と等価であると考えられるから、本研究では σ_{xi} と $(E[\sigma_{xi}])^2$ をとり、式(4)を用いたことにより標本標準偏差からの値を推定する。いま、確率変数が抵抗 R と荷重効果 S の2つで、破壊条件式が $g(R, S) = R - S \leq 0$ で与えられると簡単な場合について考えると、 β は以下のように表せられる。

$$\beta = \frac{E[M_R] - E[M_S]}{\sqrt{E[\sigma_R]^2 + E[\sigma_S]^2}} = \frac{\bar{R} - \bar{S}}{\sqrt{\sigma_R^2 n_R + \sigma_S^2 n_S}} \quad (24)$$

：で、 \bar{R}, \bar{S} は R, S の標本平均、 n_R, n_S は標本標準差²である。Fig. 2: $\bar{R} = 2100 \text{ kg/cm}^2, \bar{S} = 1400 \text{ kg/cm}^2, \sigma_R = 210 \text{ kg/cm}^2, \sigma_S = 280 \text{ kg/cm}^2$ と仮定したときの、 R, S のデータ数・安全性指標への影響を示す。：で、横軸に荷重に関するデータ数 n_S をとり、抵抗に関するデータ数 n_R をパラメータとして安全性指標の変化を調べている。

もし、 σ_R, σ_S が母集団の標準偏差に一致すれば、 β は 2.0 となるが、 $n_R = 5$ であれば、 n_S が 50 以上と、 β は 1.7 程度にしか評価できなくなる。また、 n_R が増加するにつれて β の値は大きくなるが、どの場合もその増加率は $n_S = 25 \sim 30$ で小以下となり、より上限値をむきに向かがみられる。このことから、安全性解析に必要なデータ数としては、もちろん多く得られるほどよいが、25 ~ 30 程度が正規分布に属する変数に対する最も効率的であると考えられる。つぎに、：のデータ数に関する統計的不確定性を Fig. 3 の提案した補正係数 δ_N の形で考慮するならば、どの程度に評価可能かについて考察する。 $n_R = n_S$ と仮定すると、破壊条件式は、

$$g(R, S, N) = N(R - S) \quad (25)$$

：で、 $MN = 1$ とすると、補正係数 N の変動係数 δ_N は Fig. 3 のよう示される。データ数が 25 ~ 30 程度のとき、 δ_N は 0.03 ぐらいいに見積めばよいかがわかる。

2) Ditlevsen-Skov の定義³

Ditlevsen & Skov は Hasofer & Lind の提案した標準化変換に修正を加えた。つまり、荷重に関する変数 S_i は式(21)の形で標準化し、抵抗に関する変数 R_i は次式のように標準化する。

$$Y_i = \frac{\ln R_i - \bar{R}_i}{\sigma_{R_i}} \quad (26)$$

：のとき、安全性指標 β は R, S と変数問題に対して以下の最適化問題を得く：とより求められる。

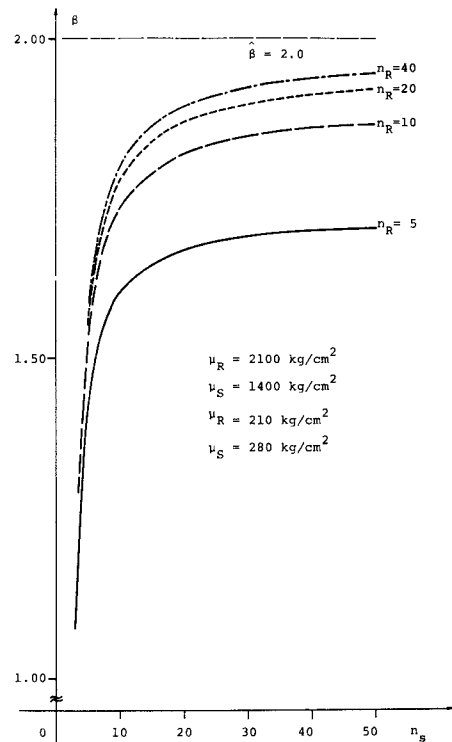


Fig. 2 Relations between Safety Index and Data Number

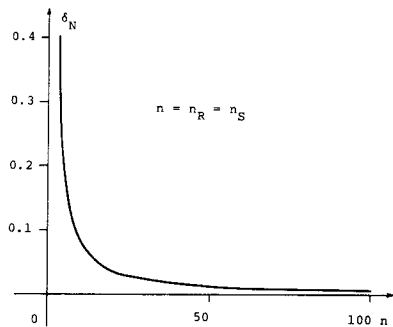


Fig. 3 Relation between δ_N and n

$$\begin{aligned} \text{Min. } & \beta = \sqrt{\bar{r}^2 + \sigma^2} \\ \text{s.t. } & e^{\lambda R} e^{\lambda r} - (\sigma_s \lambda + \mu_s) = 0 \end{aligned} \quad \left. \right\} \quad (27)$$

このとき、式(3), (4), (14), (15)を用いたことにより、統計的不確定性を考慮することができる。

F. Ditlevsen, Skov は全ての確率変数を式(26)を用いて標準化し、その空間内の原点と破壊面までの最短距離として安全性指標を求めることを考えている。このとき、計算を簡単にするために以下の近似を用いている。

$$\lambda_x = \ln \mu_x \quad (28), \quad \xi_x = \delta_x \quad (29)$$

Fig. 4K. Hasofer-Lind の安全性指標と Ditlevsen-Skov の安全性指標の比較を示す。例題と(2)は、前に示した R , \bar{r} の二乗数が非常に簡単であることを用いる。 R , \bar{r} とともに対数正規分布に従うと仮定し、 $V_R (= \bar{r}/\sigma_R) = 0.1$, $V_S (= \bar{r}/\sigma_S) = 0.2$ とし、 \bar{r}/σ を横軸にとって安全性指標の変化を調べている。 $n (= n_R = n_S) = 10$ のときと $n = \infty$ の場合を比較すると、いずれの場合も安全性指標の値は $n = \infty$ の方が当然大きいが、その差は \bar{r}/σ が大きくなるにつれて拡がるといふ。これは、より安全であることが求められる重要な構造物に対する(2)は、より十分なデータを収集する必要があることを示している。また、 $n = 10$ と $n = \infty$ の場合の差は Hasofer-Lind の β の方が大きい。この理由は対数正規分布の方が正規分布より、母集団の平均・標準偏差と標本の平均・標準偏差の差が大きくなるためである。

3) Rackwitz の定義³⁾

Rackwitz は分布形に関する情報を安全性指標に反映するために、平均・標準偏差を変えたりすることにより、Hasofer-Lind の方法を拡張した。修正された平均 μ'_x 、標準偏差 σ'_x は次式で計算される。

$$\mu'_x = X^* - \sigma'_x \Phi^{-1}[F_x(X^*)] \quad (30), \quad \sigma'_x = \phi[\Phi^{-1}(F_x(X^*))]/f_x(X^*) \quad (31)$$

ただし、 $F_x(X)$ は X の確率分布関数、 $\Phi(\cdot)$ は標準正規確率分布関数、 $\phi(\cdot)$ は標準正規確率密度関数。すなはち設計点を示し、標準化空間上で表わされた破壊面内の原点に最も近い点の座標から計算される。Fig. 5 に R を正規分布、 S をオーランダ近似最大値分布とした場合の計算結果を示す。図中、実線は Rackwitz の方法による結果、破線は Hasofer-Lind の方法による結果である。ここで、 $\bar{r} = 2100 \text{ kg/cm}^2$, $\bar{\sigma} = 1400 \text{ kg/cm}^2$, $\sigma_R = -10 \text{ kg/cm}^2$, $\sigma_S = 280 \text{ kg/cm}^2$ であり、 $n_R = \infty$ と仮定している。オーランダ近似最大値分布を設計点 X^* で正規分布に合わせ、 μ'_x , σ'_x を修正することにより、 β の値は Hasofer-Lind の方法に比べて小さくなる。しかし、この差は、オーランダ近似最大値分布の修正係数がシミュレーションで求められたものであるので、もう少し小さくなるかと思われる。両者の最も異なる点は、 n_S の増加に伴は β の変化の速さである。Hasofer-Lind の方法では β は 25 ~ 30 以上でほとんど増加せず、Rackwitz の方法では直線形に近い増加がみられる。

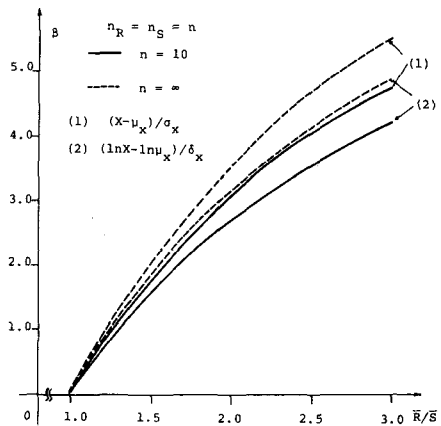


Fig. 4 Comparison of Hasofer/Lind and Ditlevsen/Skov Criteria

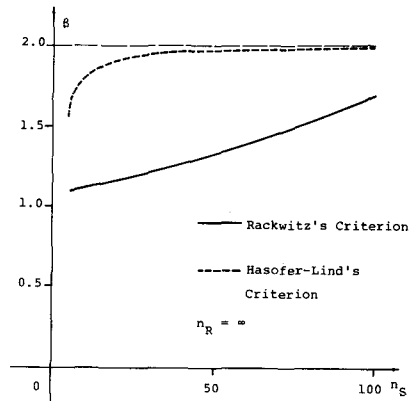


Fig. 5 Comparison of Hasofer/Lind and Rackwitz Criteria

4. 統計的不確定性の信頼性設計への影響

ここでは、荷重係数設計法に注目して、統計的不確定性の設計への影響を、抵抗の平均値 \bar{s} より荷重係数から検討する。いま、満足すべき安全性が安全性指標の形で与えられたとすると、設計は以下の形で定式化される。

$$\beta(\bar{s}, s_s, s_R; M_R) \geq \beta_d \quad (32)$$

ここで、 β_d は社会的・経済的条件で決められる許容レベルを表す。このとき、破壊条件式として $g(R, S) = R - S \leq 0$ を用い、Haasen-Lind の安全性指標を用いると、式(32)は、

$$\frac{M_R - \bar{s}}{\sqrt{s_R^2 s_R^2 + s_s^2 s_s^2}} \geq \beta_d \quad (33)$$

と成り、 M_R は、

$$M_R \geq \bar{s} + \beta_d \sqrt{s_R^2 s_R^2 + s_s^2 s_s^2} = \bar{s} + \frac{s_R^2 s_R^2 \beta_d}{\sqrt{s_R^2 s_R^2 + s_s^2 s_s^2}} + \frac{s_s^2 s_s^2 \beta_d}{\sqrt{s_R^2 s_R^2 + s_s^2 s_s^2}} \quad (34)$$

から求められる。¹⁰⁾このとき、荷重係数設計法の設計式¹¹⁾（ただし特性値と1つ平均値をとる場合）

$$\phi' M_R \geq \gamma' M_S \quad \begin{aligned} \phi' &: \text{強度係数} \\ \gamma' &: \text{荷重係数} \end{aligned} \quad (35)$$

と対応する。ここで、 ϕ' 、 γ' は以下のようになる。

$$\phi' = 1 - \frac{\sqrt{s_R^2 s_R^2 + s_s^2 s_s^2}}{\sqrt{s_R^2 s_R^2 + s_s^2 s_s^2}} \quad (36)$$

$$\gamma' = 1 + \frac{s_R^2 s_R^2 \cdot V_R \beta_d}{\sqrt{s_R^2 s_R^2 + s_s^2 s_s^2}} \quad (37)$$

ただし、 $M_R = \bar{s}$ 、 $M_S = \bar{s}$ 、 $V_R = \bar{s}/s_R$ 、 $V_S = \bar{s}/s_s$ とおき、Fig. 6 は、 $\beta_d = 4.0$ を仮定した場合の抵抗の平均値 M_R のデータ数との関係を示す。データ数の設計値に与えられた影響はわりと大きく、例えば $n = n_R = n_S$ が 20 のとき $n = \infty$ に比べて 3.5 % の増加がみられる。Fig. 7 には、この M_R に対する ϕ' ($\phi' = 0.90$ と 1 が場合の値) の変化を示す。

荷重係数の場合、 n が 20 のときは 8 % 程度大きく見積ることが必要である。また、Fig. 8 は $n = 20$ の場合の分布形の組合せの M_R への影響を示す。図中、N, LN, EXI は正規分布、対数正規分布、LN-EXI は抵抗が LN、荷重効果が EXI に従うことを示している。 β_d が大きくなるにつれ、データ数の影響は大きくなる。もし、荷重効果が 1 種漸近分布に従う場合は、Haasen-Lind の方法では抵抗の平均値にかなりの違いが生じる。

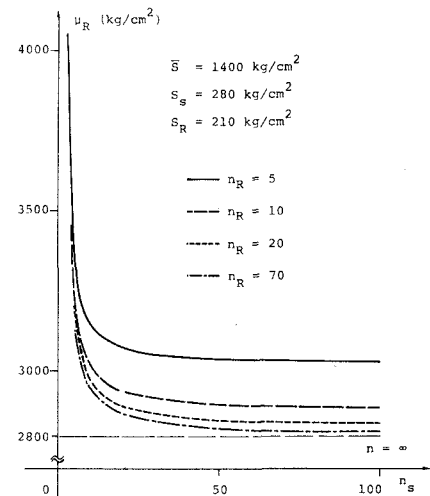


Fig. 6 Relations between μ_R and n

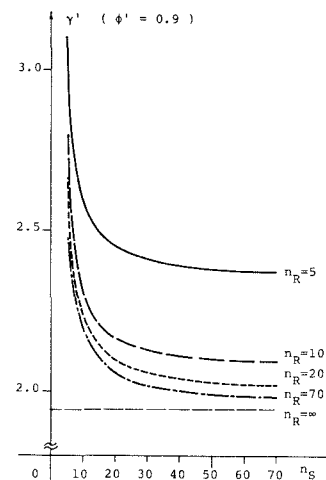


Fig. 7 Relations between Load Factor and Data Number

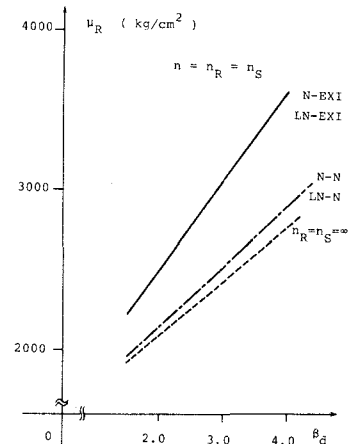


Fig. 8 Influence of Combination of Distributions on μ_R

5. 結論およびあとがき

データ数と統計的不確定性に注目をし、ファデュシアル統計学を用い、正規分布・対数正規分布等に従う確率変数の母集団の平均・標準偏差と標本の平均・標準偏差との関係を導き、修正係数の考え方を導入することにより、データ数の影響を簡単な形で考慮する考え方を考へた。また、これらの関係を用いることにより、統計的不確定性の安全性指標への影響を検討し、それが設計におけるTの影響を与えるかを、荷重係数設計法との関連から明らかにした。数値計算等の結果、以下の結論が得られた。

1. 確率変数が正規分布に従う場合、母集団の平均・標準偏差と標本の平均・標準偏差との関係が解析的に求めることができます。母平均と標本平均は同じとみすすことができますが、標準偏差は標本値にデータ数の関数である修正係数を乗じることにより推定する必要がある。この修正係数はガンマ関数の形で表められますが、若干の近似を導入することにより簡単な計算式を得られる。
2. 対数正規分布の場合には、正規分布とは異なり、完全な解析式の形で平均・標準偏差間の関係式は導けないが一次近似の考え方を用いることにより近似的な関係を得ることができます。この場合は、正規分布の場合とは異なり、母平均と標本平均は一致しないが、その違いはわずかである。また、修正係数の値は正規分布の場合より少し大きめとなる。
3. 正規分布・対数正規分布以外の場合には、解析的に修正係数を導くことは困難であるので、モンテカルロ法によるシミュレーションを行ない、数値的に関係式を導いた。オノ種漸近分布の例では、修正係数として対数正規分布より大きい値を必要とすると思われる。
4. データ数の安全性指標への影響を調べた結果、正規分布に従う場合丁データ数が25~30ぐらいが最も効率的であると思われる。また、Angの補正係数との関係を調べると、 $n = n_R = n_S$ が25~30では補正係数の変動係数は0.03ぐらいに相当する。変数が正規分布・対数正規分布以外の分布に属する場合でも、Rachmitzの示した安全性指標の定義を用いることにより、分布形お互いデータ数の影響を考慮することが可能である。
5. 統計的不確定性は設計にもかなりの影響を与える。データが十分にあり場合に比べて、データ数が20程度以下であれば、設計値を最低3%は大きくする必要がある。
6. 本研究では、データ数と統計的不確定性の影響について、2変数の基本的Tの問題のみを用いて検討したが、これで示した方法は多変数の一般的Tの問題に対しても適用可能である。また、実際の設計においては、データの数と同時に母集団の分類等に関するデータの質あるいは確率的に取り扱えよいか不確定要因の評価も重要な要素であり、今後の研究が望ましい。

最後に、本研究に際し貴重な助言を頂いた中部工業大学教授小西一郎先生に感謝の意を表します。

参考文献

- 1) A. Hasofer and N. Lind, "An Exact and Invariant Second-Moment Code Format", Proc. ASCE, EMI, Feb. 1974
- 2) O. Ditlevsen and K. Skov, "Uncertainty Theoretical Definition of Structural Safety Suggested by the NKB Safety Committee", Denmark Eng. Acad., 1976
- 3) R. Rachmitz, "Practical Probabilistic Approach To Design," CEB, No. 112, 1976
- 4) 日石・吉田中野, "安全性指標の信頼性解析への適用に関する考察", 土木学会論文報告集, No. 301, 1980
- 5) J. Garland and P. Tripathi, "A Simple Approximation for Unbiased Estimation of the Standard Deviation", Ann. Statistician, 1971
- 6) 吉田・日石, "統計丁度と安全性指標について", 第35回土木学会年次学術講演会, I-330, 1980
- 7) A. Ang and W. Tang, "Probability Concepts in Engineering Planning and Design", John Wiley & Sons, 1975
- 8) 馬場・中川・成岡, "測定値の誤差を考慮した信頼性解析", 土木学会論文報告集, No. 254, 1976
- 9) A. Ang, "Series of Lectures on Structural Reliability and Probability-Based Design", Lecture Note, 1976
- 10) 日石・吉田, "2次モーメント法に基づく荷重係数設計法", 第29回応用力学連合講演論文抄録集, 1979
- 11) 伊藤, "構造設計における安全性の粗範", 工学会誌, 60巻8号, 1975

Influence of Statistical Uncertainty on Reliability-Based Design

Naruhito Shiraishi* and Hitoshi Furuta*

It has been widely recognized that reliability theory provides a tool for the quantitative evaluation of structural safety. Namely, uncertainties involved in structural performance can be analyzed rationally only with the aid of probabilistic and statistical approaches. Then, the influence of uncertain factors are assessed on the basis of the information which is given in the form of statistical characteristics as mean values, variances, coefficients of variation and so on. It is, however, quite difficult to obtain the population mean and the population standard deviation from the finite number of samples. Especially, the standard deviation estimated from the measured data with a small size is seldom consistent with the population standard deviation. The differences between the sample and population values may give a considerably large influence on the structural design.

The present paper aims to elucidate the effects of the statistical uncertainty concerning with the number of data on the safety analysis and the reliability-based design. Safety analysis is performed herein by use of the second moment theory, which is greatly adaptable to application in practical structural design codes, because of the simplicity, flexibility, and easiness of treatment. However, the elementary safety index method is known to suffer, a greater or smaller degree, lack of invariance under a change of formulation of the failure criteria. To overcome this serious problem of invariance and further to generalize the safety index concept to multivariate design problems, some new definitions or calculating methods of the safety index have been presented : Hasofer/Lind criterion, Ditlevsen/Skov criterion, Rackwitz criterion, etc. In this paper, the above three methods are compared and discussed, placing attention on how to introduce the statistical uncertainty.

For the normal distribution, the relation between the population and sample standard deviations is derived by use of the fiducial statistics. As is known, the population mean can be estimated by the sample mean, whereas the standard deviation should be corrected by multiplying the modification factor, which is a function of the number of data, with the sample standard deviation. A practical formula for calculating this factor can be deduced by using the expansion approximation. This result is extended to the log-normal distribution. The modification factors are calculated approximately to compare with the case of the normal distribution. For other distributions, the modification factors are determined numerically through the Monte Carlo simulation, since it is impossible to find it analytically. If the concept of modification factor is coupled with safety index methods, the influence of the statistical uncertainty can be introduced in the explicit form into the assessment of structural safety. Also, this method makes it possible to examine the effect of the number of data on the structural design, using the load factor design format. Consequently, Rackwitz criterion, which is an approximate full-distribution method, seems to be superior when including the statistical uncertainty.

* Department of Civil Engineering, Kyoto University